

隅角部の二次流の制御に関する実験的研究

京都大学工学部 正員 神津家久
 群馬大学工学部 正員 富永晃宏
 大阪府正員 ○若井 健

1. 玄元

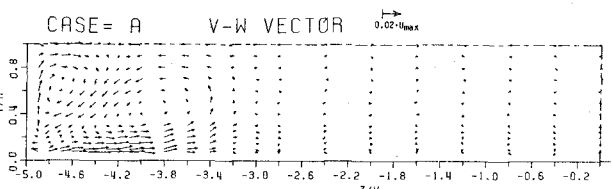
開水路流における最大流速点の降下と非円形ダクト流における等值線の屈曲は、前世紀から多くの流体力学者によつて興味を示されてきた。河川工学においても現在、河床変動、土砂輸送プロセスの解明が一つの問題となつてゐるが、河川の流れは三次元的であることを考えると、これらの現象に果たす二次流の役割は非常に大きいものがある。ここでは、隅角部付近の路床に模型突起を設置し、その二次流構造へ及ぼす影響について調べた。

2. 実験装置と方法

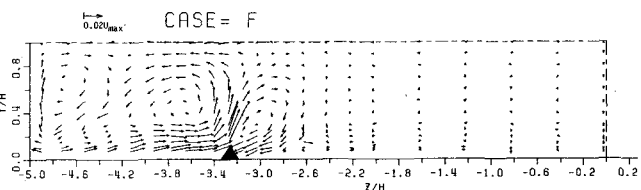
実験は風洞を用いて行われた。風洞のダクトは長さ6m、幅40cm、高さ8cmで、計測断面は上流端から5mの位置に設けた。実験は、路床に何も設置しない時をCase Aとし、側壁から7cm離れた位置の路床に斜辺7mm、高さ3.5mmの直角二等辺三角形断面の模型突起を上下左右対称となるように設置した時をCase F、側壁から2.6cmの位置に同様に突起を設置した場合をCase Gとした。Case Fでは、隅角部の二次流の底面側の渦の上昇部に突起を設置しており、これは隅角部の二次流を促進する位置に対応し、またCase Gでは、隅角部の二次流の下降流の大さしが最も強くなるところに突起を設置しており、これは隅角部の二次流を抑制する位置に対応している。流れの条件は、各ケースとも最大流速 U_{max} を約7cm/sに一致させ、二成分定温度式ホットワイヤ流速計を用いて ($\bar{U}, \bar{V}, \bar{W}$) の瞬間流速ペアを計測した。

3. 実験結果とその考察

(図-1(a), (b), (c))に、Case A, F, G の二次流の平均流速 (V, W) のベクトル図を示す。Case Aでは隅角部へ向かうる一対の二次流が明確に認められる。以後、隅角部角の二等分線より上側の渦を側壁渦、下側の渦を底面渦とよぶことにすると、底面渦の及ぶ範囲にはまづと限りがありようであり、側壁から2H以上離れた領域は二次元領域とみなすことができる。また顕著な渦はこの二つのみで他には縦渦列のような渦群は見られない。Case Fでは、突起部より強い上昇流が誘起され



(図-1(a) 二次流ベクトル図 (Case A))



(図-1(b) 二次流ベクトル図 (Case F))

Case A と比べて側壁渦の大王工も若干大きくなっている。また実験より中央断面側にも渦がでているが、この新しくできた渦と対をなす渦は誘起されない。

Case G での大きな特徴は側壁渦が消失していることと、工字に実験の中央断面側には、その反対側の渦と同じ向きの大工字弱い渦がでています。この実験の設置により、流れのパターンが Case A, H と、全く変化してしまったといえよう。

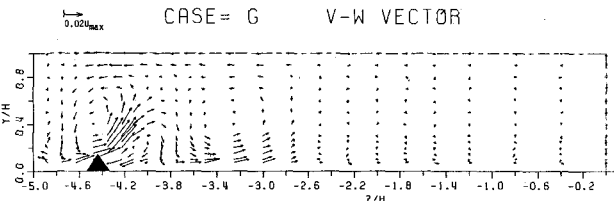
(図-2)に摩擦速度 U_* の横断方向分布を示す。Case A では底面渦の上昇部で分布に「くぼみ」がでています。この「くぼみ」は Case H で非常に顕著になります。この付近でせん断応力が減少することがよくわかる。Case G では、側壁部の値は他と比べてかなり小さくなっています。また上昇流に対応する「くぼみ」は、 $Z/H = -3.0$ 附近に移動し、そのすぐ左に生じる弱いピークは実験の右側に生じている小さい渦の下降部に対応している。

(図-3(a), (b))に、Case H, G のレイノルズ応力 $-uv$ の鉛直方向分布を示す。Case H では、底面渦の上昇部で直線分布より上にずれる傾向がある。また側壁付近では負となる領域が現れ、複雑な乱れの構造を示すようになる。Case G では、実験付近で上にずれる傾向は Case A, H と同じであるが、隅角部付近での下へのずれは小工字、 $-uv < 0$ となる領域は現れない。この分布形は、縦割りのある流れの分布形とよく一致しており、隅角部の影響が消失しているものと考えられる。

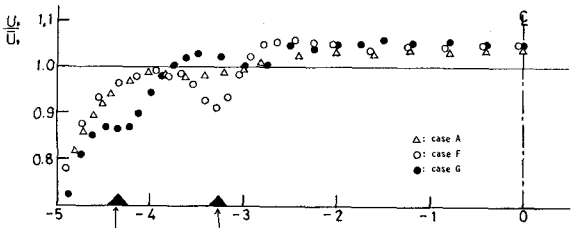
4. あとがき

以上のように、隅角部付近の路床に模型実験を設置した場合、実験に起因する二次流が大きな影響を及ぼし、その位置によっては隅角部本来の二次流構造を変化させ、さらに隅角部領域の流れの構造を大きく変化させることが示された。この相互関係は実験の形状や大きさなどによって決まると考えられるが、この点については今後の課題である。なお本研究は文部省科学研究費特定研究(代表者 篠原亮)の補助を受けた。

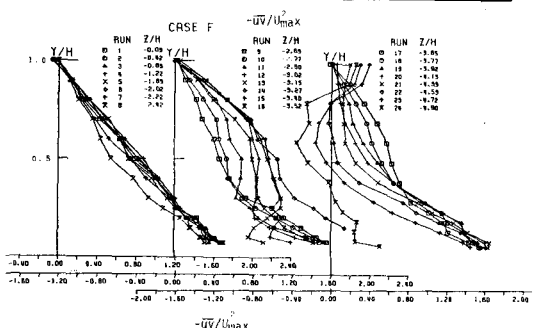
参考文献 1) Müller, A : 2-nd. Int. Symp. on Stochastic Hydraulics, No. 3, pp. 47~68 (1977)



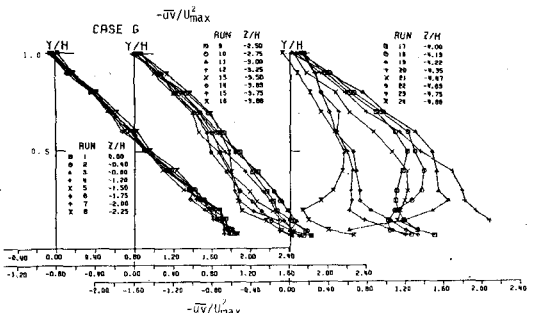
(図-1(c), 二次流ベクトル図 (Case G))



(図-2, 摩擦速度 U_* の横断方向分布)



(図-3(a), $-uv$ の鉛直方向分布 (Case H))



(図-3(b), $-uv$ の鉛直方向分布 (Case G))